

АХАТОВИ ГЕОДИ ОТ РАЙОНА НА С. ТАТАРЕВО, ИЗТОЧНИ РОДОПИ

Бануш Банушев¹, Здравко Цинцов²

¹ Минно-геоложки университет "Св. Иван Рилски", София 1700; banushev@mgu.bg

² Централна лаборатория по минералогия и кристалография "Акад. Иван Костов", БАН, София 1113; ztsintsov@mail.bg

РЕЗЮМЕ. Изследвани са минералният състав и текстурните особености на геодов тип ахати от района на с. Татарево, Източни Родопи, локализирани в палеогенски кисели вулканити (висококалиеви риолити) на задругата на втори кисел вулканизъм. Геодите са предимно плътни с атрактивни декоративни качества, дължащи се на концентрично-ивичестите и паралелни слоеве, изградени от различни фази на SiO₂, контрастно изпъкващи на фона на тъмните (тъмносиви до черни) цветове на халцедоновата матрица. Микроскопските изследвания показват, че минералния състав на ахатите включва основно фази на SiO₂, сред които преобладава халцедон от различни микроструктурни типове. Въз основа на получените данни е изказана хипотеза, че изследваните ахати са образувани от нискотемпературни разтвори резултат на постмагматичната хидротермална дейност в района. Специфичните особености в оцветяването им се дължат на цикличното обогатяване на тези разтвори с Fe и Mn.

AGATE GEODES FROM THE TATAREVO VILLAGE REGION, EASTERN RHODOPES

Banush Banushev¹, Zdravko Tsintsov²

¹ University of Mining and Geology "St. Ivan Rilski", Sofia 1700; banushev@mgu.bg

² Central Laboratory of Mineralogy and Crystallography "Acad. Ivan Kostov", BAS, Sofia 1113; ztsintsov@mail.bg

ABSTRACT. The mineralogical features and structural characteristics of geode type agates from the Tatarevo village region, localized in Paleogene acid volcanics (high-K rhyolite) from the formation of the II acid volcanism are studied. The geodes are predominantly dense and of attractive decoration qualities due to the concentric-stripe and parallel layers of different phases of SiO₂, which protrude in respect to the dark colors (dark gray up to black) of the chalcedony matrix. The macroscopic studies show that the mineral composition of the agates includes mainly phases of SiO₂, among which different microstructural types of chalcedony are prevailing. On the basis of the obtained data is suggested a hypothesis, that the studied agates have been formed from low temperature solutions as a result of the postmagmatic hydrothermal activity in the region. The specific characteristics in its colouration is result of the cyclic dressing of these solutions with Fe and Mn.

Въведение

Ахатите с тяхното текстурно многообразие привличат вниманието на хората от най-дълбока древност, а химическите и физикомеханичните им характеристики направиха успешно тяхното приложение в редица промишлени направления. Независимо от повишения интерес към тези природни образувания, генезиса и геологията на техните находища все още са недобре изучени. Относно генезиса на ахатите са изказани множество хипотези, но до момента нито една от тях не обяснява задоволително всички аспекти на проблема (Moxon, 1996). Вероятно това оказва неблагоприятно влияние при разработването на стройна система от критерии за оценка и прогноза за търсene на техните находища. В същото време промишлените находища на ахати се свързват основно с вулканити (главно базалти, по-рядко андезити и най-рядко риолити), като останалите генетични типове находища са силно подценени и изследванията в тях са крайно ограничени (Годовиков и др., 1987). Ахати с промишлени концентрации в кисели вулкански скали се срещат сравнително рядко, като в същото време те съществено се отличават по форма, размери и текстурни особености от ахатите в базалти или андезити (Киевленко, Сенкевич, 1976). Нещо повече,

при описанието на халцедонови образувания (ахати) от такива скали с характерни особености във формата и повърхността, в САЩ за пръв път използват наименованието "thunder eggs" ("гръмови яйца"). Според Киевленко и Сенкевич (1976) тези ахати се отличават с контрастни цветни слоеве и притежават висока ювелирна и колекционна стойност. С аналогични качества се характеризират ахатите от киселите вулканити от един сравнително слабо известен все още район у нас, разположен в землището на с. Татарево, Хасковско.

Сравнително слабата популярност на ахатите от района на с. Татарево вероятно се дължи както на отдалечеността му от основните проявления в Източните Родопи така и на сравнително ограниченната му площ и редките находки, които се намират в границите на проявлението. Независимо от това обаче, поради изключително атрактивните и високи декоративни качества на тези ахати, тяхното търсение, особено от страна на колекционерите на минерални образци в България непрекъснато нараства. Най-вероятно това се дължи на обстоятелството, че до момента проявление "Татарево" е единственото компактно ахатопроявление у нас, в което част от образците носят белезите на типични ониксови ахати и твърде е възможно при задълбоченото му изследване да се установи, че страната ни разполага с такъв тип ахати.

Целта на предложената работа е да представи първоначални данни относно минераложките и текстурни особености на ахатовите геоди от киселите вулканити от района на с. Татарево, Хасковско. Геодите обект на настоящото изследване са изградени основно от различни разновидности на SiO_2 , при описанието на които е възприета номенклатурата и съкратените означения предложени от Flörke et al. (1991). В България тази номенклатура е въведена от Tsintsov et al. (2001) и се използва при специализираните изследвания на ахатите у нас (Цинцов и др., 2006; Tsintsov et al., 2002).

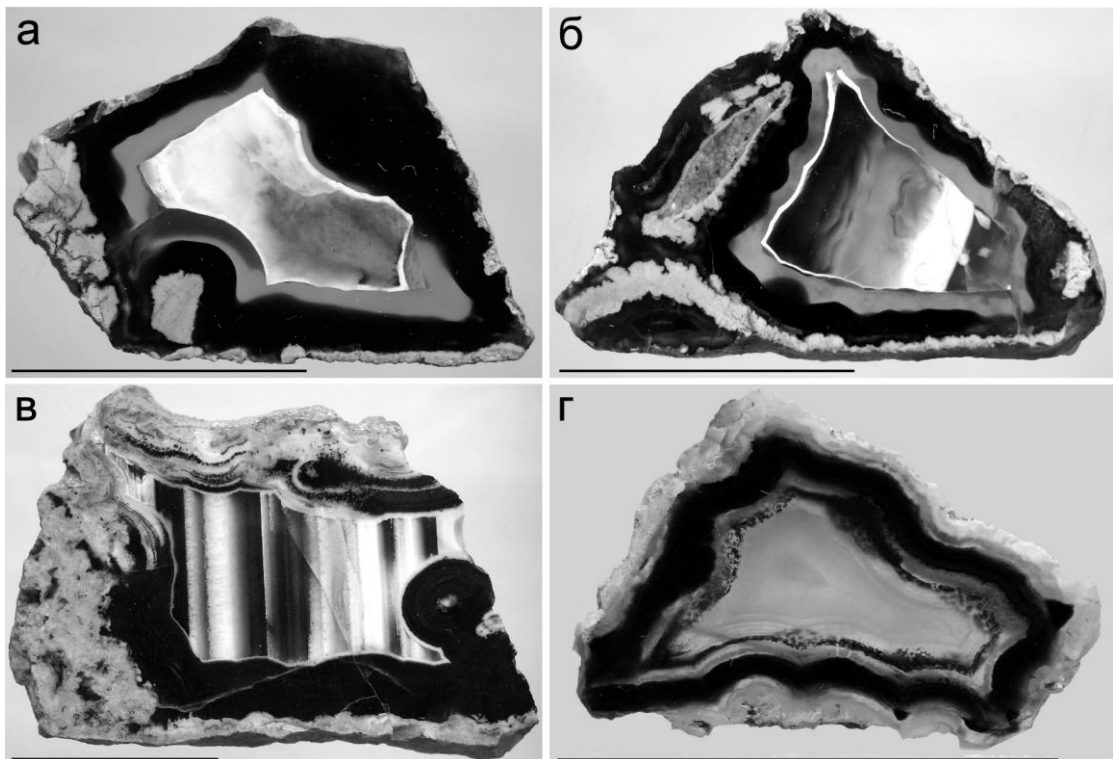
Геоложка обстановка

В структурно отношение изследваният район се отнася към североизточната периферна част на Боровишката калдера в Източнородопското палеогенско понижение. Магматизът, петроложките и петрогенетични аспекти, както строежът и морфологията на вулканските тела са добре изучени (Иванов, 1963; Янев и др., 1983; Боянов и др., 1990, 1995; Пантеva, 1996; Харковска и др., 1997; Янев, 1998). Районът около с. Татарево е изграден от кисели вулканити (задруга на втори кисел вулканизъм), участващи в състава на Татаревската вулкано-тектонска структура. Описаны са амфиболови риолити (Иванов, 1963), трахириодацитови и риолитови "куполи на изстискване" с перлити в периферните им части (Янев и др., 1983), трахириодацити, риодацити и перлити (Боянов и др., 1990; 1995). В областта западно и северно от с. Татарево се разкриват вулканити (латити), пирокластити и вулканогенно-седиментни скали участващи в състава

на задругата на втори среднокисел вулканизъм, а в южните части и разнообразни седиментни скали.

Морфологики и текстурни особености

Ахатите от проявление "Татарево" се намират най-често в елювия, по-рядко в делувия и алувия на слабо развитата речна мрежа в района и много рядко в коренните вулканити. Представени са от геоди с ovalна, изометрична или слабо удължена форма с размер по най-дългата ос до 8 см. Голяма част от геодите са напукани и тази особеност е право пропорционална на техните размери. Повърхността им е неравна и груба, а на отделни образци покрита с дребни каверни. Последните са с неправилна, ъгловата форма и размер до 6 mm и са разпространени във вътрешните части на геодите като стените им са "облицованi" с плътен кварц или кристали от същия минерал. В отделни каверни се наблюдават неправилни халцедонови образования със скелетен стоеж. В периферните части на по-голяма част от геодите се наблюдават реликти от вместващите ги кисели вулканити, които на отделни места са с брекчевиден характер, обусловен от "импрегнацията" им с халцедон. Атрактивните качества на ахатите се изразяват много добре в полирани срезове и се дължат на контрастните концентрични или паралелни (ониксов тип) слоеве от снежнобял до бежов опал, които много ясно контрастират на фона на черната халцедонова матрица (фиг. 1). Ониксовата текстура при част от образците се обуславя от наличието на алтериращи черно-бели слоеве с дебелина предимно от 1 до 4 mm. В много редки случаи се наблюдават неравномерно разпределени в халцедона участъци или дори цели слоеве с карнеолово (червенокафяво) оцветяване.



Фиг. 1. Текстурни особености на ахатови геоди от района на с. Татарево. Маркер: а-г – 2 см

Петрографска характеристика

Ахатовото проявление от района на с. Татарево е локализирано в кисели вулканити (риолити) отнасящи се към задругата на втори кисел вулканизъм. Риолитите са розови до светлокрафиави, порфирни с массивна текстура. Изградени са от фенокристали (15-30%) на плагиоклази, санидин, кварц, биотит, амфибол и девитрифицирано вулканско стъкло. Плагиоклазите (An_{24-36} – олигоклаз-андезин) са около 40-50% от фенокристалите. Свежи, зонални, призматични и плоочести, представени от порфири с размери до 5×0.8 mm и субпорфири (0.35×0.15 mm). Някои съдържат многочислени включения от девитрифицирано вулканско стъкло и биотит. Сандининът (2×2.5 mm) е бистър с правоъгълна и квадратна форма, с включения от субпорфири плагиоклази. Кварцът е представен от единични заоблени кристали с равномерно потъмнение и размери до 1.3 mm. Мафичните минерали (10-15%) са от биотит и амфибол, като първият преобладава. Биотитът е свеж, силно удължен до иглест, с включения от апатит. На места е протокластично огънат. Притежава силен плеохроизъм от светложълто-кафяв по X, до тъмно-кафяв, почти черен по Z \cong Y. Схемата на абсорбция е $Z \cong Y > X$. Амфиболите са зелени, в някои случаи зелено-кафяви, тънкопризматични, удължени до 2 mm. Характерна особеност са натрошенните фенокристали от кварц, плагиоклази и амфиболи, както и такива със следи от магматична корозия. Аксесорните минерали са от призматичен апатит, циркон, титанит и магнетит.

Таблица 1

Химични анализи на кисели вулканити от района на с. Татарево (тегл. %)

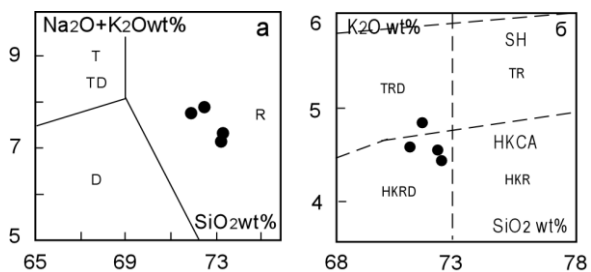
Оксиди	ER-79	ER-80	ER-81	ER-81/1
SiO_2	71.23	71.73	72.35	72.51
TiO_2	0.32	0.29	0.28	0.30
Al_2O_3	14.19	13.95	13.51	13.64
Fe_2O_3	2.34	2.22	2.30	1.98
FeO	0.41	0.38	0.40	0.52
MnO	0.07	0.04	0.03	0.05
MgO	0.76	0.57	0.54	0.66
CaO	1.79	1.91	1.78	1.91
Na_2O	2.96	2.97	2.69	2.75
K_2O	4.68	4.86	4.58	4.43
P_2O_5	0.20	0.17	0.42	0.36
ЗН	0.77	0.74	0.91	0.79
Сума	99.72	99.83	99.79	99.90
K/Na	1.58	1.64	1.70	1.61
P.I.	0.70	0.73	0.69	0.68
Нормативен състав по CIPW				
Q	31.99	31.64	36.03	35.72
Or	27.98	29.01	27.40	26.44
Ab	25.28	25.33	22.99	23.45
An	7.79	8.56	6.44	7.43
C	1.43	0.68	1.80	1.62
Hy	1.92	1.44	1.37	1.66
Mt	0.63	0.52	0.58	0.98
Hm	1.93	1.88	1.93	1.32
Il	0.61	0.56	0.54	0.58
Ap	0.44	0.37	0.93	0.79

$K/Na = K_2O/Na_2O$; P.I. = $Na_2O + K_2O/Al_2O_3$ (mol)

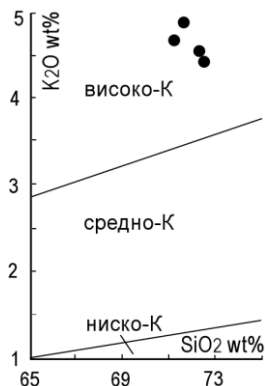
Основната маса с микрофелзитова, фелзитова и сферолитова структура е от светложълто-кафяво до светлокрафиаво вулканско стъкло, неравномерно девитрифицирано в микрозърнест кварц – К-фелдшпатов агрегат. Наблюдават се и сферолити с влакнест, радиалнольчест строеж, пространството между които е запълнено с дребнозърнест агрегат от К-фелдшпат и кварц с фелзитова структура.

В приразломните по-високо проницаещи за хидротермалните разтвори зони, риолитите са процепени от множество кварцови и халцедонови жилки, с дебелина до 2 cm и дължина до 80 cm, които на места преходват в неправилни по форма лещовидни тела. Наблюдават се и неравномерно разпределени ръждивокафяви пигментации от Fe хидроксиди. Скалообразуващите минерали във вулканитите от тези зони са значително променени. Плагиоклазите са заместени по пукнатини от кварц и халцедон, а мафичните минерали са цялостно променени – биотитът е обезцветен и превърнат в изотропна безструктурна маса, а амфиболите са заместени от кварц и халцедон. В основната микрофелзитова маса присъстват множество безцветни, изометрични и удължени тела изградени от изотропни SiO_2 фази, вероятно опал. В тези хидротермално променени участъци се наблюдават миндали запълнени със SiO_2 фази – предимно халцедон, в по-малка степен кварцин, опал и микрокварц, които по същество представляват своеобразни микроахати. Редуването на различните микроструктурни типове халцедон и SiO_2 фази от периферните към централните части на микроахатите е от типа: $CH_{LF} \rightarrow CH_{LS} \rightarrow MQ$ и $CH_{HF} \rightarrow CH_{LF} \rightarrow CH_{LS} \rightarrow \pm MQ$. В други случаи сред масивен халцедон се наблюдава влакнест и сферично-влакнест халцедон с микrorитмичност, както и изометрични и неправилни тела с размери 0.01-0.2 mm от оптически изотропен опал.

На класификационната TAS диаграма (Le Bas et al., 1986) изследваните вулканити попадат в полето на риолитите (фиг. 2a), а според диаграмата на Peccerillo & Taylor (1976), допълнена от Dabovski et al. (1991) те са висококалиеви риодацити и трахириодацити (фиг. 2б). Вулканитите са висококалиеви (фиг. 3), преситени с нормативен кварц и висококалиево калциево-алкална и шошонитова сериалност. Съотношението K_2O/Na_2O е между 1.58 и 1.70, а пералкалният индекс е от 0.68 до 0.73 (табл. 1).



Фиг. 2. а – Алкално-силициева класификационна диаграма (по Le Bas et al., 1986) с разположение на фигуративните точки на вулканитите от района на с. Татарево: D – дайцит; R – риолит; T – трахит; TD – трахириодакит; б – Диаграма на Peccerillo & Taylor (1976), допълнена от Dabovski et al. (1991): HKRD – висококалиев риодакит; HKR – висококалиев риолит; TRD – трахириодакит; TR – трахириолит; Серии: HKCA – висококалиево калциево-алкална; SH – шошонитова



Фиг. 3. Диаграма на Le Maitre et al. (1989) за поделяне на риолитите на нискокалиеви, среднокалиеви и висококалиеви

Изследваните ахати от района на с. Татарево са изградени от многократно и ритмично редуващи се SiO_2 фази – предимно халцедон, в по-малка степен микрокварц и опал. Халцедонът е предимно черен, по-рядко червенокафяв и безцветен. Черните ивици изграждат по-голяма част от ахатите и обикновено заемат периферните им части. Под микроскоп се установяват редуващи се ивици с дебелина от порядъка на 0.02-0.5 mm от различни микроструктурни типове халцедон – CH-W_{LF} , CH-H_{LF} , CH_{LF} и CH_{M} . Червенокафявите са от CH-H_{LF} (сферично-влакнест и хоризонтални слоеве) и CH_{LF} , а безцветните от CH-W_{LF} (фиг. 4а-б). Различните микроструктурни типове халцедон се редуват в различен порядък. Периферните части са изградени от многократно редуващи се ивици от влакнест и параболично-влакнест халцедон с дебелина 0.3-0.5 mm, а вътрешните части – от микрокварц ($\text{CH}_{\text{LF}} \rightarrow \text{CH-W}_{\text{LF}} \rightarrow \text{CH-H}_{\text{LF}} \rightarrow \text{CH-W}_{\text{LF}} \rightarrow \text{MQ}$). В други случаи в черните халцедонови ивици се наблюдава оптически слабо анизотропен опал, сред които локално и неравномерно са диспергирани кафяви и ръждивокафяви Fe хидроксиди асоцииращи с глинести минерали (фиг. 4в). Структурните данни (XRD изследвания и Раманова спектроскопия) показват, че анизотропията на опала се дължи на наличието в него на структурни домени от преобладаващо кристобалитов, тридимитов или смесен (кристобалит-тридимитов) компонент. Халцедоновите ивици около опала са изградени от редуващ се влакнест халцедон с ясно изразена микроритмичност, параболично-влакнест и масивен халцедон (фиг. 4в). Вътрешните части на тези ахати са от масивен халцедон и микрокварц, с вариращо количество халцедонови сферолити сред тях. Редуването на различните микроструктурни типове халцедон и SiO_2 фази е: О \rightarrow $\text{CH}_{\text{LF}} \rightarrow \text{CH-W}_{\text{LF}} \rightarrow \text{CH}_{\text{M}} \rightarrow \text{CH}_{\text{LF}} \rightarrow \text{CH}_{\text{M}}$ и $\text{MQ} \pm \text{CH-H}_{\text{LF}}$. В някои концентрично-зонални ахати освен описаните многократно редуващи се микроструктурни типове халцедон се наблюдават халцедонови сферолити, пространството между които е запълнено с CH_{M} . Ядрото им е от Fe хидроксиди, микрокварц и опал, а периферните части са от CH-H_{LF} и CH-W_{LF} (фиг. 4г).

Оцветяването на ахатите се дължи на различната концентрация и разпределение на Fe сулфиди, Fe и Mn оксиди и хидроксиди в халцедона (фиг. 4д). Те са представени основно от пирит, пиротин, Fe оксиди и хидроксиди и единични находки от Mn оксиди или

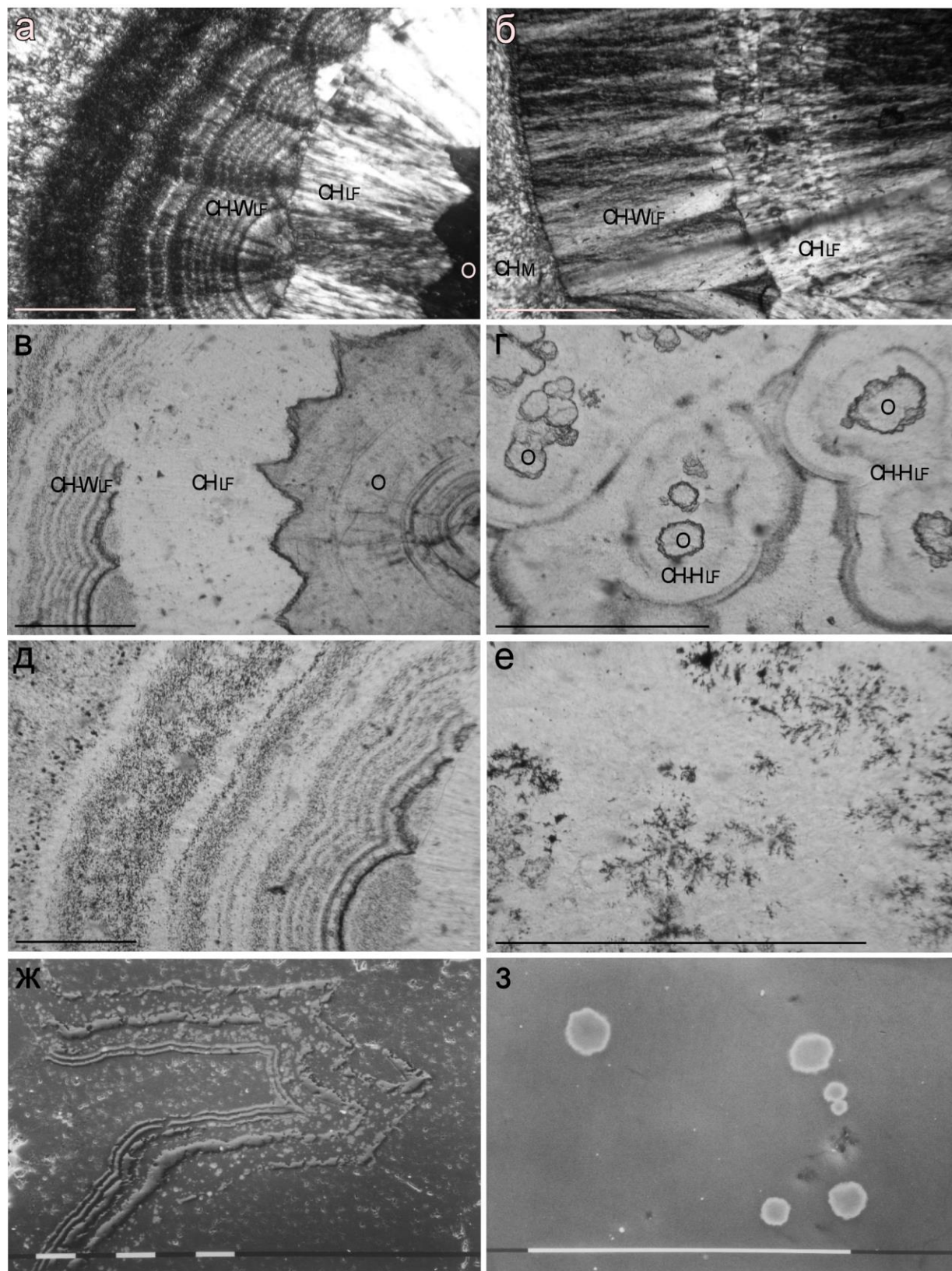
хидроксиди. Имат неправилна, изометрична или ъгловата форма и размери предимно под 2 μm , много рядко до 8 μm по най-дългата ос. Често черните ивици са оформени и оцветени от закономерно разположени в ешалонна подредба фрамбоиди на Fe сулфиди с размери под 1 μm , много рядко достигащи до 5 μm . Имат почти идеална сферична форма и много рядко показват недобре развити кристални стени. Червенокафявите ивици са пигментирани от Fe оксиди и хидроксиди, представени от тела със същата морфология и размери, но с ръждивокафяво оцветяване (фиг. 4д). В някои случаи сред CH_{M} се установяват неравномерно разпределени ръждивокафяви, дендритовидни Fe оксиди и хидроксиди (фиг. 4е), а в други – ивици от плътно подредени фрамбоиди на Fe сулфиди или оксиди и хидроксиди с различни размери и морфология (фиг. 4ж), които разделят различните микроструктурни типове халцедон. В определени участъци фрамбоидите имат неравномерна концентрация и разпределение в черния халцедон (фиг. 4з). Вероятно в определени случаи черното оцветяване на халцедона се дължи на фино диспергирани сред него Mn оксиди или хидроксиди. Характерна особеност е локализацията на пигментиращия компонент в определен микроструктурен тип халцедон, в границите на който концентрацията и разпределението му е сравнително постоянно. В тази връзка редуването на ивици с по-висока концентрация на Fe сулфиди, Fe и Mn оксиди и/или хидроксиди и такива с по-ниска наситеност, както и наличието на опал обуславят контрастното оцветяване на ахатите.

Генетични особености

Генезисът на ахатите от района на с. Татарево следва да се обвърже с постмагматичната хидротермална активност в Източните Родопи. Хидротермалната дейност е неравномерно проявена, по-интензивно около приразломните по-високо проницаеми зони, като и в катаклизирани и тектонизирани участъци. В тези зони обогатените на SiO_2 нискотемпературни разтвори са запълнили пукнатини, каверни и различни по големина и морфология газови празнини във вулканитите, отлагайки в тях SiO_2 фази и формирали както микроахати, така и различни по големина и форма геоди. Многократното редуване на ивици от различни SiO_2 фази е указание за стадийност в минералообразувателните процеси, обусловена от пулсацията на разтворите и промяната на физикохимичните условия. В локални участъци разтворите са имали повишена S фугитивност и значително съдържание на Fe иони, което е било предпоставка за образуване на сулфидите. С развитието на кристализационния процес те са придобили окислителен характер, в резултат на който са формирани определена част от оксидите и хидроксидите. Останалите от тях вероятно са резултат от супергенната промяна на част от първичните сулфиди. Според Sunagawa and Ohta (1976), хоризонталната паралелно-ивичеста зоналност при ахатите бележи заключителния стадий на тяхното формиране. В нашия случай тази зоналност е изградена от редуването на опалови и халцедонови слоеве с различна дебелина и е указание както за финалния стадий на ахатообразуването в района, така и за пулсационния характер на минерализираните разтвори и промените в техните

физикохимични параметри. Колебанията в кристализационните условия през този стадий са довели

до формирането на най-атрактивната част от ахатовите геоди от района на с. Татарево, изграждайки в тях участъци с оников тип текстура.



Фиг. 4. Микрофотографии на ахати от района на с. Татарево, Хасковско. PLM (а-е): а, б – редуване на различни микроструктурни типове халцедон; в – опал (дясно) и различни микроструктурни типове халцедон около него; г – халцедонови сферолити (CH-H_{LF}) с опалово ядро; д – халцедон пигментиран от финодиспергирани в него на Fe сулфиди, Fe и Mn оксиди и хидроксиди; е – дендритовидни Fe оксиди и хидроксиди в халцедон. Маркер: а-е – 0.4 mm; а, б +N, в-е II N. SEM (ж, з): ж – ивици от Fe и Mn оксиди и хидроксиди, разделящи различни микроструктурни типове халцедон; з – фрамбоиди от Fe сулфиди. Маркер: ж – 100 μm ; з – 10 μm

Литература

- Боянов, И., Д. Кожухаров, А. Горанов, Й. Янев, Ж. Шилякова, М. Русева. 1990. Геоложка карта на България в M 1:100000, к.л. *Искра*, С.
- Боянов, И., Д. Кожухаров, А. Горанов, Ж. Шилякова, М. Русева. 1995. Обяснителна записка към геоложка карта на България в M 1:100000, к.л. *Искра*, С., ГИ БАН, Геология и геофизика, 77 с.
- Годовиков, А. А., О. И. Рипинен, С. Г. Моторин. 1987. *Агаты*. М., Недра, 368 с.
- Иванов, Р. 1963. Магматизмът в Източнородопското понижение. Част II – петрохимическо развитие и провинциални особености. – *Тр. геол. България, Сер. Геохим., минерал. и петрограф.*, 4, 294-323.
- Киевленко, Е. Я., Н. Н. Сенкевич. 1976. Геология месторождений поделочных камней. М., Недра, 280 с.
- Пантева, В. 1996. Строеж на киселите палеогенски вулкански тела от района на с. Татарево, Хасковско. – *Сп. Бълг. геол. д-во*, 57, 1, 21-26.
- Харковска, А., В. Пантева, Дж. Пе-Пайпър. 1997. Нови геологки, петрохимични и геохимични данни за палеогенските вулканити от района на селата Татарево и Гарваново, Хасковско. – *Сп. Бълг. геол. д-во*, 58, 2, 83-94.
- Цинцов, З., Б. Банушев, Е. Вулев. 2006. Сагенитови ахати от Източните Родопи. – *Минно дело и геология*, 10, 36-40.
- Янев, Й., Б. Караджова, А. Андреев. 1983. Распределение щелочей и генезис кислых вулканитов в части Восточно-Родопского палеогенского понижения. – *Geologica Balc.*, 13, 3, 15-45.
- Dabovski, C., A. Harkovska, B. Kamenov, B. Mavrudchiev, G. Stanisheva-Vassileva, Y. Yanev. 1991. A geodynamic model of the Alpine magmatism in Bulgaria. – *Geologica Balc.*, 21, 4, 3-15.
- Flörke, O. W., H. Graetsch, B. Martin, K. Röller, R. Wirth. 1991. Nomenclature of micro- and non-crystalline silica minerals, based on structure and microstructure. – *N. Jb. Mineral. Abh.*, 163, 19-42.
- Le Bas, M. J., R.W. Le Maitre, A. Streckeisen, B. Zanettin. 1986. A chemical classification of volcanic rocks based on the total alkali – silica diagram. – *J. Petrology*, 27, 745-750.
- Le Maitre, R. W (ed). 1989. *A Classification of Igneous Rocks and Glossary of Terms. Recommendations of the IUGS Subcommission on the Systematics of Igneous Rocks*. Blackwell Sci Public., Oxford, 193 p.
- Moxon, T. 1996. *Agate Microstructure and Possible Origin*. Doncaster, Terra Publications, 106 pp.
- Peccerillo, A., S. R.Taylor. 1976. Geochemistry of Eocene calc-alkaline volcanic rocks from the Kastamonu area, Northern Turkey. – *Contrib. Mineral. Petrol.*, 58, 63-81.
- Sunagawa, I., E. Ohta. 1976. Mechanism of formation of chalcedony. – *Tohoku Univ. Sci. Report, Ser. 3*, 13, 2, 131-146.
- Tsintsov, Z., B. Banushev, R. Pazderov. 2001. Mineralogical characteristic of Paleogene coral agates from Eastern Rhodopes, Bulgaria. – *N. Jb. Miner. Mh.*, 10, 464-480.
- Tsintsov, Z., B. Banushev, T. Zdravtshev. 2002. Characteristics of agates from Kostino village region, Kurdjali district (Bulgaria) – *Compt. Rend. Acad. Bulg. Sci.*, 55, 9, 67-72.
- Yanев, Y. 1998. Petrology of the Eastern Rhodopes Paleogene acid volcanics, Bulgaria. – *Acta Volcanol.*, 10, 265-277.

Препоръчана за публикуване от
Катедра "Минералогия и петрография", ГПФ